



УДК: 517.9

MSC 2010: 37G35

## Универсальное двумерное отображение и его радиофизическая реализация

А. П. Кузнецов, С. П. Кузнецов, М. В. Поздняков, Ю. В. Седова

Предложено простое двумерное отображение, параметрами которого являются непосредственно след и якобиан матрицы возмущений неподвижной точки. На плоскости параметров оно демонстрирует основные универсальные бифуркационные сценарии: переход к хаосу через удвоения периода, картину квазипериодических колебаний и языков Арнольда. Продемонстрирована возможность реализации такого отображения в радиофизическом устройстве.

Ключевые слова: отображения, бифуркации, квазипериодические явления

### Введение

Двумерные отображения важны для многих приложений, поскольку могут представлять собой сечения Пуанкаре трехмерных потоков. В свою очередь, известно большое число радиофизических, биофизических систем, моделей популяционной биологии и т. д., которые описываются трехмерными потоками [1–5]. Бифуркации двумерных отображений подробно изучены [6–8]. Одним из интересных феноменов в таких отображениях является

---

Получено 27 февраля 2012 года

После доработки 16 апреля 2012 года

---

Работа выполнена при поддержке РФФИ, проект № 12-02-00342-а и гранта Правительства РФ для гос. поддержки научных исследований, проводимых под руководством ведущих ученых (№ 11.G34.31.0039).

---

Кузнецов Александр Петрович

[alkuz@rambler.ru](mailto:alkuz@rambler.ru)

Кузнецов Сергей Петрович

[spkuz@rambler.ru](mailto:spkuz@rambler.ru)

Седова Юлия Викторовна

[sedovayv@rambler.ru](mailto:sedovayv@rambler.ru)

Саратовский филиал Института радиотехники и электроники им. В. А. Котельникова РАН  
410019, Россия, г. Саратов, ул. Зеленая, д. 38

Поздняков Михаил Валерьевич

[prozdnayakov@yandex.ru](mailto:prozdnayakov@yandex.ru)

Саратовский государственный технический университет им. Ю. А. Гагарина  
410054, Россия, г. Саратов, ул. Политехническая, д. 77

бифуркация рождения инвариантной кривой — бифуркация Неймарка–Сакера, с наличием которой ассоциируется целый круг явлений, таких как возникновение резонансных циклов, структура языков Арнольда и т. д. Наиболее популярный в литературе пример двумерного отображения — отображение Эно — характеризуется постоянным якобианом и не демонстрирует такую бифуркацию. В [9–12] предложена определенная модификация отображения Эно (*generalized Hénon map*), которая приводит к возникновению бифуркации Неймарка–Сакера. Еще один возможный путь построения необходимого отображения состоит в использовании двумерных потоков с бифуркацией Андронова–Хопфа, для которых производные по времени заменяются конечными разностями. Такой подход приводит, например, к отображению Богданова (*Bogdanov map*), предложенному и исследованному в [13–15]. Мы предлагаем еще один вариант отображения, который логическим образом вытекает из двухпараметрического бифуркационного анализа. В этом случае параметрами отображения являются непосредственно след и якобиан матрицы возмущений (матрицы Якоби), что обеспечивает, в определенной мере, универсальность свойств отображения. Такой подход рассмотрен в разделе 1 настоящей статьи. Предлагаемое отображение (как и упоминавшиеся выше примеры) является, однако, формально построенной конструкцией. Поэтому важным является вопрос о его возможной физической реализации. Этот вопрос обсуждается в разделе 2, где предложена радиофизическая схема, которая демонстрирует необходимый тип поведения, и приведены результаты моделирования ее динамики с применением программного пакета Multisim [16, 17].

## 1. Бифуркации двумерных отображений и универсальная модель

Двумерное отображение в общем случае задается соотношениями

$$\begin{aligned}x_{n+1} &= f(x_n, y_n), \\y_{n+1} &= g(x_n, y_n).\end{aligned}\tag{1.1}$$

Оно может иметь неподвижные точки  $(x_0, y_0)$ , такие, что

$$\begin{aligned}x_0 &= f(x_0, y_0), \\y_0 &= g(x_0, y_0).\end{aligned}\tag{1.2}$$

Характер устойчивости неподвижной точки определяется матрицей Якоби системы (1.1), вычисленной в такой точке:

$$\widehat{M} = \begin{pmatrix} f'_x & f'_y \\ g'_x & g'_y \end{pmatrix}.\tag{1.3}$$

Собственные числа этой матрицы представляют собой мультипликаторы отображения  $\mu_1$  и  $\mu_2$ , для которых справедливо соотношение

$$\mu^2 - S\mu + J = 0,\tag{1.4}$$

где  $S$  и  $J$  — след и якобиан матрицы возмущений (1.3).

Бифуркации двумерных отображений удобно представить на плоскости след–якобиан  $(S, J)$ . В этом случае получается достаточно полная, а главное, универсальная картина

бифуркаций [4, 18]. На плоскости  $(S, J)$  имеет место характерный «треугольник устойчивости», показанный на рисунке 1. Его стороны отвечают основным бифуркациям коразмерности один [6]:

- а) касательная бифуркация (*fold*),  $\mu = +1$ :  $1 - S + J = 0$ ;
- б) бифуркация удвоения периода (*flip*),  $\mu = -1$ :  $1 + S + J = 0$ ;
- в) бифуркация Неймарка – Сакера:  $J = 1$ .

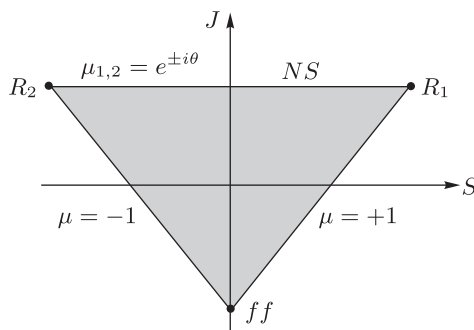


Рис. 1. Треугольник устойчивости двумерных отображений на плоскости след–якобиан матрицы возмущений.

Вершины треугольника соответствуют простейшим бифуркациям коразмерности два [6]:

- а) резонанс  $1 : 1$ ,  $R_1$ , когда  $\mu_1 = \mu_2 = +1$ :  $S = 2, J = 1$ ;
- б) резонанс  $1 : 2$ ,  $R_2$ , когда  $\mu_1 = \mu_2 = -1$ :  $S = -2, J = 1$ ;
- в) бифуркация *fold–flip*,  $ff$ , когда  $\mu_1 = +1, \mu_2 = -1$ :  $S = 0, J = -1$ .

В силу универсальности картины на плоскости  $(S, J)$ , привлекательной является идея построить отображение, для которого след и якобиан были бы непосредственно регулируемые параметрами. Сконструируем сначала соответствующее линейное отображение:

$$\begin{aligned} x_{n+1} &= Sx_n - y_n, \\ y_{n+1} &= Jx_n. \end{aligned} \tag{1.5}$$

Оно имеет неподвижную точку в начале координат. Матрица Якоби в этой точке имеет вид

$$\widehat{M} = \begin{pmatrix} S & -1 \\ J & 0 \end{pmatrix}. \tag{1.6}$$

Таким образом, параметры  $S$  и  $J$  действительно являются следом и якобианом матрицы Якоби. Добавим простейшую квадратичную нелинейность вида  $(x^2 + y^2)$ . Тогда отображение примет вид

$$\begin{aligned} x_{n+1} &= Sx_n - y_n - (x_n^2 + y_n^2), \\ y_{n+1} &= Jx_n - \frac{1}{5}(x_n^2 + y_n^2). \end{aligned} \tag{1.7}$$

(Множитель  $1/5$  введен для более удобного представления результатов.)

Понятно, что картина основных бифуркаций неподвижной точки  $x_0 = y_0 = 0$  отображения (1.7) будет точно отвечать «треугольнику устойчивости» на рисунке 1. Для более



полной характеристики свойств отображения (1.7) используем метод карт динамических режимов [4]. Соответствующая карта на рисунке 2 получена следующим образом: в каждой точке плоскости параметров  $(S, J)$  численно определялся период цикла отображения (1.7), и эта точка окрашивалась в определенный цвет в соответствии с полученным периодом. Периоды основных режимов указаны на карте. Кроме того, белым цветом обозначены квазипериодические режимы  $Q$ , черным — хаос  $C$ , лазурным — гиперхаос  $CH$ . Для визуализации этих режимов дополнительно рассчитывались ляпуновские показатели системы; при этом квазипериодическим режимам соответствует один нулевой и один отрицательный показатель, хаосу отвечает один положительный показатель, а гиперхаосу — два положительных показателя. Серым цветом и буквой  $D$  обозначена область убегания траекторий на бесконечность.

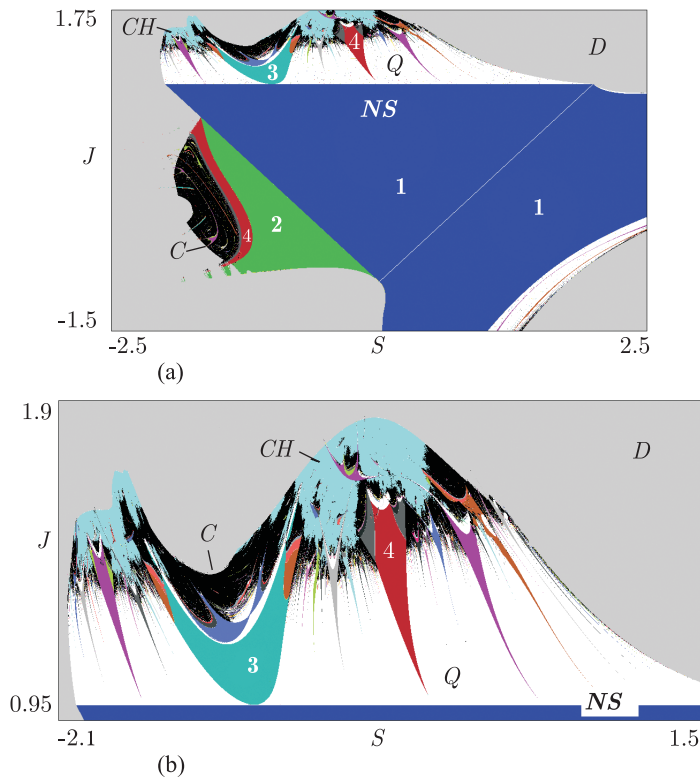


Рис. 2. Карта динамических режимов двумерного универсального отображения (а) и ее увеличенный фрагмент (б) в окрестности линии бифуркации Неймарка – Сакера  $NS$ .

На рисунке 2а оказывается визуализированным «треугольник устойчивости». Правая граница треугольника на карте отвечает касательной бифуркации с жестким переходом на другой режим. В рассматриваемом случае это область устойчивости другой неподвижной точки. Левая граница треугольника отвечает бифуркации удвоения периода, причем возможен полный фейгенбаумовский каскад с переходом к хаосу. Отметим, что небольшой отрезок (верхняя часть) этой границы отвечает не удвоению периода, а жесткому переходу через мультипликатор  $-1$ . На рисунке хорошо видна точка, в которой линия удвоения превращается в линию жесткого перехода.

Верхняя граница треугольника устойчивости соответствует бифуркации Неймарка – Сакера  $NS$ . На рисунке 2б показана в увеличенном виде картина языков Арнольда, выстроенных вдоль этой линии. Можно видеть, что языки погружены в область квазипе-

риодических режимов. С ростом параметра  $J$ , отвечающего за превышение над порогом бифуркации Неймарка–Сакера, в области перекрытия языков Арнольда возникает хаос, а затем и гиперхаос.

Найдем числа вращения  $w$  на линии бифуркации Неймарка–Сакера. В соответствии с (1.4), при  $J = 1$  для мультипликаторов имеем  $\mu = S/2 \pm i\sqrt{1 - S^2/4}$ . Тогда  $tg(\arg \mu) = (\sqrt{4 - S^2})/S$ . С учетом определения числа вращения  $w = \arg \mu/2\pi$ , легко получаем связь следа матрицы Якоби  $S$  с числом вращения  $w$ :

$$S = 2 \cos(2\pi w). \tag{1.8}$$

Таким образом, при движении вдоль линии бифуркации Неймарка–Сакера  $J = 1$  число вращения меняется от значения  $w = 1/2$  при  $S = -2$  до  $w = 0$  при  $S = 2$ .

Отметим некоторые особенности внутреннего устройства основных языков Арнольда. На рисунке 3 показан в увеличенном виде язык периода 4. Можно видеть, что на верхней границе устойчивости резонансного 4-цикла возникает разрыв области существования цикла периода 8. В этой области граница устойчивости 4-цикла оказывается линией вторичной бифуркации Неймарка–Сакера  $NS_2$ . На базе цикла периода 4 возникает новая инвариантная кривая, так что на фазовом портрете можно наблюдать появление характерных овалов из каждого элемента 4-цикла. Можно отметить также возникновение внутри области квазипериодической динамики специфических областей периодических режимов, которые не контактируют с линией вторичной бифуркации Неймарка–Сакера.

Аналогичная картина, включающая вторичную бифуркацию Неймарка–Сакера, реализуется и на основе цикла периода 8 при выходе из области существования такого цикла, расположенной на рисунке 3 справа. Эта часть зоны периода 8 является маленькой «копией» языка периода 4, тогда как для левой области периода 8 наблюдается более традиционное устройство плоскости параметров с непрерывными линиями удвоений периода.

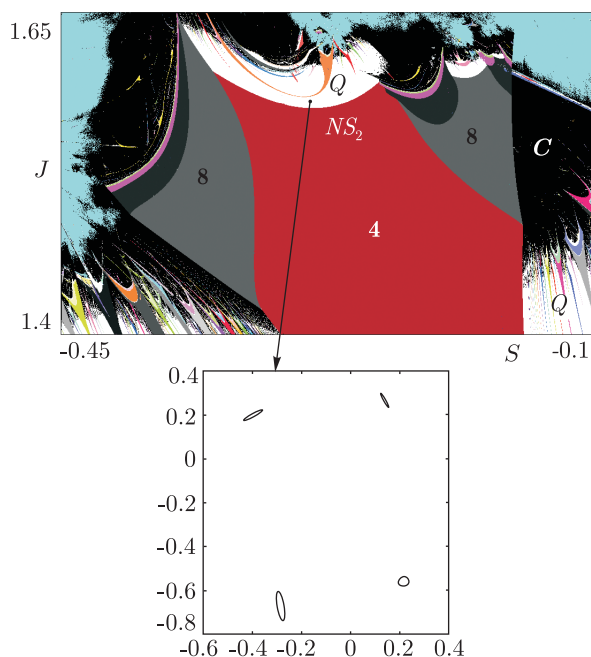


Рис. 3. Язык Арнольда периода 4 и характерный фазовый портрет, иллюстрирующий вторичную бифуркацию Неймарка–Сакера.

## 2. Радиofизическая реализация универсального отображения

Отображение (1.7) фактически представляет собой хотя и удобный для анализа, но абстрактный, искусственно сконструированный объект. Было бы интересно представить примеры физических систем, которые при соответствующей интерпретации динамических переменных описываются отображением такого типа. Отметим, что отображение необратимое, и поэтому для потоковых систем оно может соответствовать только лишь приближенному описанию в терминах сечения Пуанкаре (размерности больше 2). При этом динамика в двух измерениях, ассоциирующаяся с переменными  $x$ ,  $y$ , должна сопровождаться сильным сжатием фазового объема по остальным направлениям пространства состояний. Ниже рассмотрен пример неавтономной системы в виде электронной схемы с периодическим внешним воздействием, для которой отображение (1.7) возникает при стробоскопическом описании преобразования мгновенного состояния за период.

Имея в виду разработку электронного устройства, естественно обратиться к средствам схемотехнического моделирования, среди которых удобным и популярным является программный продукт Multisim [16, 17].

При построении схем возможны два методически разных подхода, хотя грань между ними несколько условная. Один состоит в конструировании физической системы, обладающей интересующим типом динамического поведения, на основе радиотехнических элементов — колебательных контуров, активных элементов типа транзисторов, источников напряжения, элементов обратной связи и т. п. Второй опирается на идеологию по возможности точного воспроизведения исходных уравнений на базе элементов, применяемых в технике аналогового моделирования, таких как интеграторы, умножители, сумматоры и пр. При построении схемы, которая описывалась бы уравнениями (1.7), естественно взять за основу второй подход.

Обратимся к схеме, показанной на рисунке 4. Она содержит источник синусоидального напряжения  $V4$  (частота 5 кГц), под действием которого периодически открываются и закрываются четыре электронных ключа J1–J4. Время, соответствующее одной полной итерации отображения, будет равно периоду изменения напряжения  $V4$ . Параметры  $S$  и  $J$  задаются с помощью потенциометров R1 и R2 и отвечают величинам напряжения, контроль которых осуществляется с помощью вольтметров XMM1 и XMM2.

В течение одного полупериода, когда замкнуты ключи J2 и J3, напряжение на конденсаторе C1 через повторитель на операционном усилителе U6 и резистор R13 передается (копируется) на конденсатор C2. Аналогичным образом, напряжение на конденсаторе C3 через повторитель U5 и резистор R14 копируется на конденсатор C4. (Резисторы R13, R14 служат для ограничения тока зарядки конденсаторов C2 и C4.) Результирующие напряжения, установившиеся к концу данного полупериода на конденсаторах C2 и C4, полагаем задающими динамические переменные  $x_n$  и  $y_n$ . (Соответствующие точки на схеме помечены как X и Y.)

На втором полупериоде ключи J2 и J3 разомкнуты, а J1 и J4 замкнуты. При этом происходит заряд конденсаторов C1 и C3 до напряжений, отвечающих значениям переменных на следующем шаге согласно формулам (1.7). Умножители напряжения A2 и A3 формируют напряжения, равные  $-0.1x_n^2$  и  $-0.1y_n^2$ , которые поступают на вход суммирующего инвертора на операционном усилителе U4. Выходное напряжение, определяющееся выражением

$$U_{U4} = -\frac{R_5}{R_3} (-0.1x_n^2) - \frac{R_5}{R_4} (-0.1y_n^2) = x_n^2 + y_n^2, \quad (2.1)$$

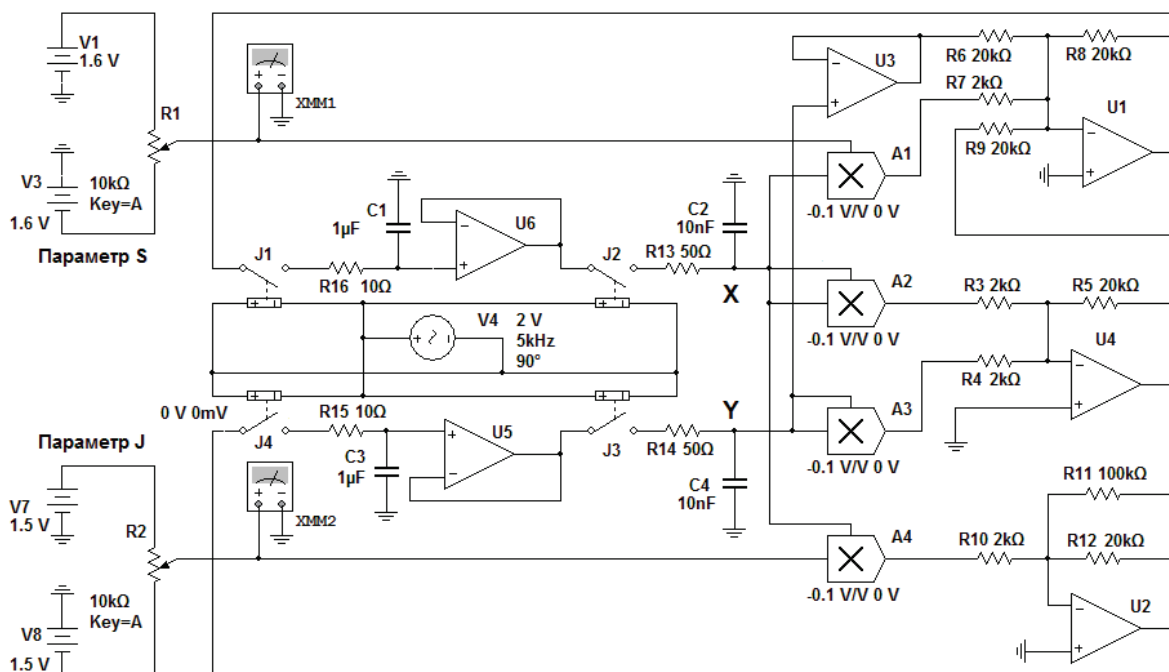


Рис. 4. Принципиальная схема электронного устройства, динамика которого описывается отображением (1.7).

подается на вход двух суммирующих инверторов на операционных усилителях U1 и U2. На другие два входа инвертора U1 подано напряжение  $-0.1Sx_n$  с выхода умножителя A1 и напряжение  $y_n$  через повторитель U3. В результате на выходе U1 при указанных на схеме номиналах резисторов получается напряжение

$$U_{U1} = -\frac{R_8}{R_7}(-0.1Sx_n) - \frac{R_8}{R_6}y_n - \frac{R_8}{R_9}(x_n^2 + y_n^2) = Sx_n - y_n - (x_n^2 + y_n^2). \quad (2.2)$$

Что касается инвертора U2, то к его второму входу приложено напряжение  $-0.1Jy_n$  с выхода умножителя A4. В результате на выходе U2 получаем напряжение

$$U_{U2} = -\frac{R_{12}}{R_{10}}(-0.1Jy_n) - \frac{R_{12}}{R_{11}}(x_n^2 + y_n^2) = Jy_n - \frac{1}{5}(x_n^2 + y_n^2). \quad (2.3)$$

Как можно видеть, формулы (2.2) и (2.3) соответствуют выражениям (1.7) для величин  $x_{n+1}$  и  $y_{n+1}$ . Эти напряжения обеспечивают заряд конденсаторов C1 и C3, причем для ограничения тока зарядки служат резисторы R15 и R16. После этого, на очередном периоде изменения напряжения источника V4, реализуется следующая итерация отображения (1.7), и так далее. Следует заметить, что при запуске схемы должны быть обеспечены ненулевые начальные условия; например, заданием начального напряжения на конденсаторе C1 и/или C2.

Обратимся к иллюстрациям динамики системы, полученным в результате схемотехнического моделирования. При его проведении использовались двухлучевой осциллограф и анализатор спектра программного продукта Multisim. Входное напряжение  $U_X$  для од-

ного канала осциллографа снимается с точки  $X$ , а для второго  $U_Y$  — с точки  $Y$ . Вход анализатора спектра подключался к точке  $X$ .

На рисунке 5 в левой колонке показаны осциллограммы напряжений  $U_X$  и  $U_Y$  при значениях параметров  $J$  и  $S$ , иллюстрирующие различные режимы динамики системы: цикл периода 2 (а), цикл периода 4 (b), хаос, возникший в результате каскада удвоений периода (c). Также представлены квазипериодический режим (d), хаос (e) и гиперхаос (f), возникающие в области разрушения квазипериодической динамики. Следует подчеркнуть, что

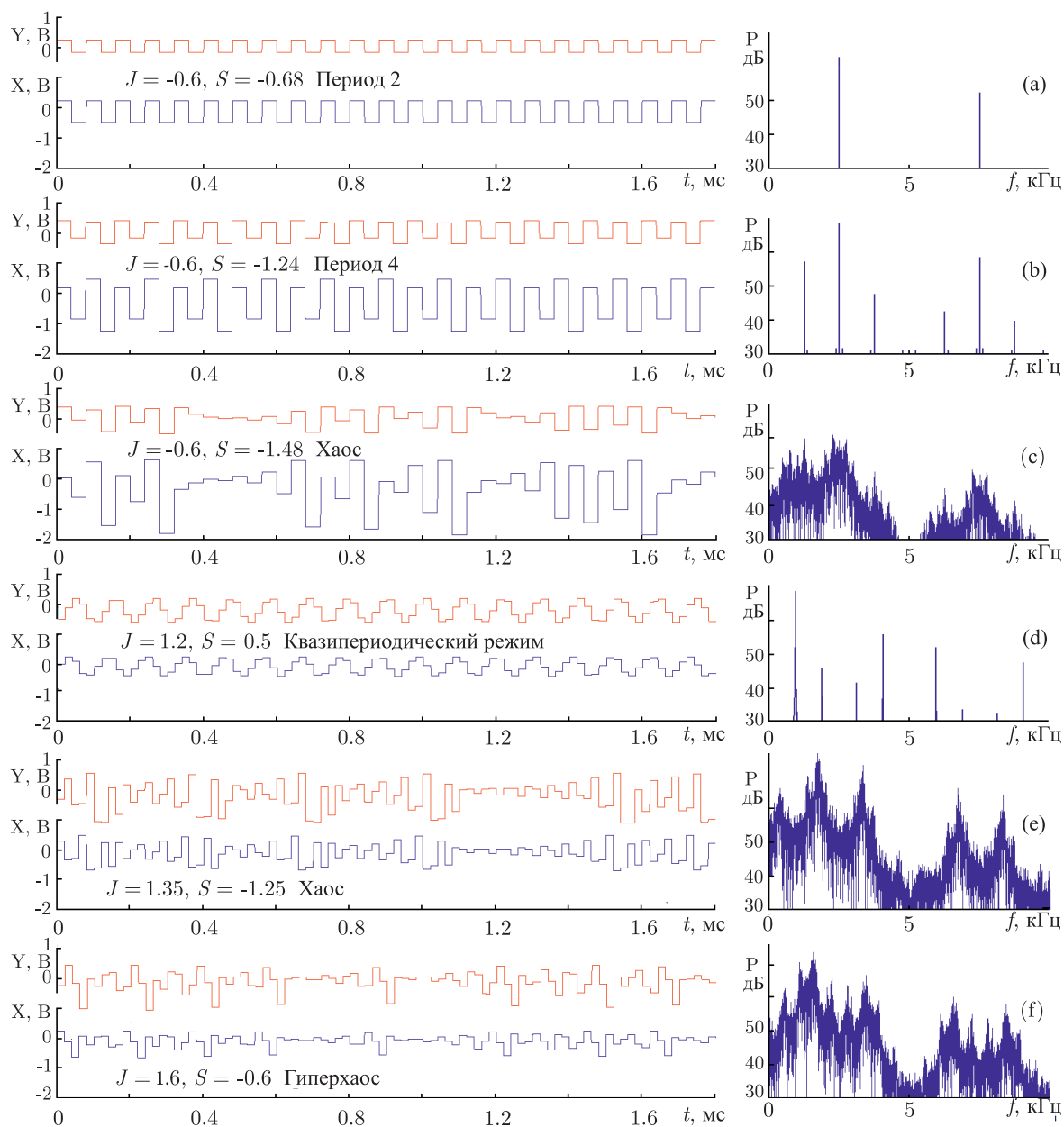


Рис. 5. В левой колонке — осциллограммы напряжений в точках  $X$  и  $Y$ , полученные при моделировании динамики схемы, приведенной на рисунке 4, в программной среде Multisim. В правой колонке приводятся спектры сигнала в точке  $X$  в логарифмическом масштабе.



режимы динамики, наблюдаемой при схемотехническом моделировании, находятся в хорошем соответствии с отображением (1.7), что говорит об адекватности предложенной схемы. В правой колонке показаны соответствующие спектры. Видно, что периодическим и квазипериодическим режимам отвечают дискретные спектры, причем во втором случае количество спектральных составляющих больше — наряду с основными составляющими присутствуют всевозможные комбинационные частоты. В режимах хаоса и гиперхаоса наблюдается сплошной спектр. На рисунке не приведены из-за их тривиальности осциллограммы, которым на плоскости параметров отвечает внутренность треугольника устойчивости: здесь система демонстрирует устойчивое состояние равновесия, и временные зависимости представлены горизонтальными линиями.

На рисунке 6 показаны фазовые портреты, которые получаются переключением осциллографа в режим без временной развертки, когда два подаваемых на вход напряжения соответствуют горизонтальному и вертикальному отклонению луча. Поскольку основной интересной особенностью системы является присутствие бифуркации Неймарка – Сакера, здесь приводятся результаты для аттракторов, возникающих за порогом этой бифуркации. Параметр  $J$  принят равным 1.2, а параметр  $S$  изменяется от одной диаграммы к другой, что соответствует движению слева направо вдоль горизонтальной линии на плоскости параметров. На этой линии в зависимости от величины  $S$  реализуются квазипериодические (а, с, е, f) или периодические (b, d) режимы, поскольку соотношение основных частот изменяется в примерном соответствии с изменением аргумента комплексного мультипликатора на границе бифуркации Неймарка – Сакера. В языках синхронизации соотношение частот остается фиксированным. Самый широкий и легко наблюдаемый язык отвечает периоду 3 (см. рис. 6b).

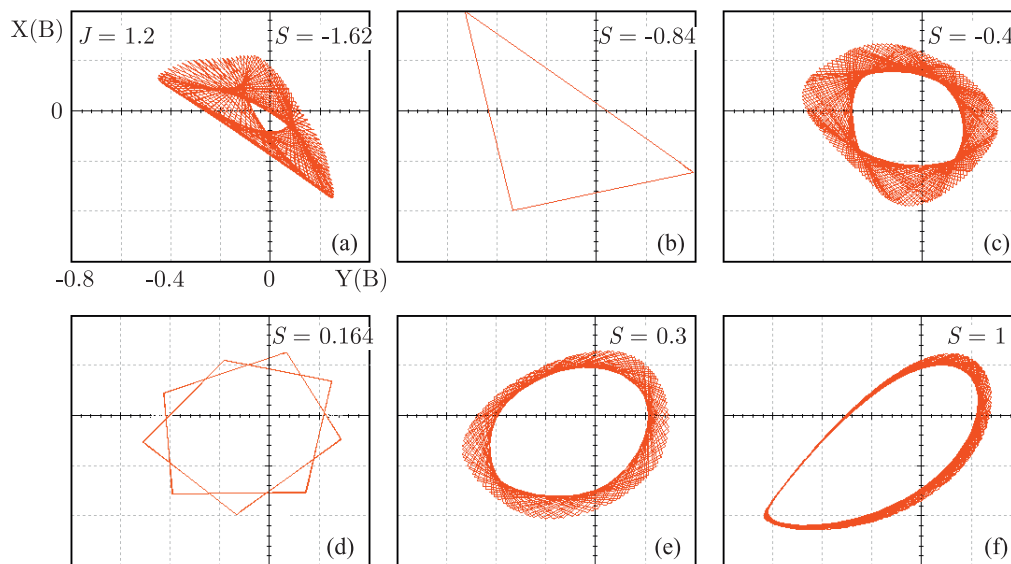


Рис. 6. Фазовые портреты аттракторов, возникающих за порогом бифуркации Неймарка – Сакера, построенные по результатам моделирования схемы, приведенной на рисунке 4, в программной среде Multisim. Параметр  $J$  остается одним и тем же, а параметр  $S$  увеличивается от одной диаграммы к другой, начиная с некоторого отрицательного значения.

## Заключение

В настоящей работе предложено двумерное отображение, параметрами которого служат непосредственно след и якобиан матрицы возмущения вблизи неподвижной точки. Карта режимов и карта ляпуновских показателей такого отображения демонстрирует на плоскости этих параметров характерный «треугольник» устойчивости, составленный из отрезков прямых в виде линий касательной бифуркации, удвоения периода и линии бифуркации Неймарка – Сакера, а также систему языков Арнольда с характерным внутренним устройством, включая вторичные бифуркации Неймарка – Сакера. Предложенное отображение допускает радиофизическую реализацию в виде электронной схемы, функционирование которой продемонстрировано путем схематического моделирования с помощью программного пакета Multisim. Такую схему можно использовать для экспериментов, имеющих целью накопление опыта практического исследования динамических феноменов, которые ассоциируются с переходами к хаосу, включающими бифуркации рождения квазипериодических режимов.

## Список литературы

- [1] Неймарк Ю. И., Ланда П. С. Стохастические и хаотические колебания. М.: Наука, 1987. 424 с.
- [2] Мун Ф. Хаотические колебания. М.: Мир, 1990. 312 с.
- [3] Анищенко В. С. Сложные колебания в простых системах: Механизмы возникновения, структура и свойства динамического хаоса в радиофизических системах. М.: Либроком, 2009. 320 с.
- [4] Кузнецов С. П. Динамический хаос. М.: Физматлит, 2006. 356 с.
- [5] Базыкин А. Д. Нелинейная динамика взаимодействующих популяций. М.–Ижевск: Институт компьютерных исследований, 2003. 368 с.
- [6] Kuznetsov Yu. A. Elements of applied bifurcation theory. New York: Springer, 1998. 614 pp.
- [7] Meijer H. G. E. Codimension 2 bifurcations of iterated maps: PhD Thesis. Utrecht Univ., 2006 (<http://igitur-archive.library.uu.nl/dissertations/2006-1204-200716/index.htm>).
- [8] Wiggins S. Introduction to applied nonlinear dynamical systems and chaos. New York: Springer, 2003. 843 pp.
- [9] Gonchenko V. S., Kuznetsov Yu. A., Meijer H. G. E. Generalized Hénon map and bifurcations of homoclinic tangencies // SIAM J. Appl. Dyn. Syst., 2005, vol. 4, no. 32, pp. 407–436.
- [10] Гонченко С. В., Стенькин О. В., Шильников Л. П. О существовании счетного множества устойчивых и неустойчивых инвариантных торов у систем из областей Ньюхауса с гетероклиническими касаниями // Нелинейная динамика, 2006, т. 2, № 1, с. 3–25.
- [11] Гонченко С. В., Гонченко А. С. К вопросу о классификации линейных и нелинейных подков Смейла // Нелинейная динамика, 2007, т. 3, № 4, с. 423–443.
- [12] Kuznetsov Yu. A., Meijer H. G. E., van Veen L. The fold-flip bifurcation // Internat. J. Bifur. Chaos, 2004, vol. 14, no. 7, pp. 2253–2282.
- [13] Arrowsmith D. K., Cartwright J. H. E., Lansbury A. N., Place C. M. The Bogdanov map: Bifurcations, mode locking, and chaos in a dissipative system // Internat. J. Bifur. Chaos, 1993, vol. 3, no. 4, pp. 803–842.
- [14] Сухаревский В. В. Оценка температуры и плотности частиц в слабодиссипативной теории Колмогорова – Арнольда – Мозера // Вестн. Моск. ун-та. Сер. 3. Физика. Астрономия, 2006, № 2, с. 7–9.
- [15] Богданов Р. И., Богданов М. Р. Слабодиссипативная версия теории Колмогорова – Арнольда – Мозера: Теория и практика расчетов // Ж. вычисл. матем. и матем. физ., 2008, т. 48, № 3, с. 473–490.

- [16] Макаренко В.В. Моделирование радиоэлектронных устройств с помощью программы NI Multisim // Электронные компоненты и системы (Киев) VD MAIS, 2008, № 1, с. 50–56; № 2, с. 51–57; № 3, с. 44–51; № 4, с. 44–51; № 6, с. 46–53; № 7, с. 54–59; № 8, с. 46–56; № 9, с. 65–69; № 12, с. 47–52.
- [17] Варзарев Ю.Н., Иванцов В.В., Спиридонов Б.Г. Моделирование электронных схем в системе Multisim. Таганрог: ТТИ ЮФУ, 2008. 81 с.
- [18] Thompson J. M. T., Stewart H. B. Nonlinear dynamics and chaos: Geometrical methods for engineers and scientists. Chichester: Wiley/Blackwell, 1986. 376 pp.

## Universal two-dimensional map and its radiophysical realization

Alexander P. Kuznetsov<sup>1</sup>, Sergey P. Kuznetsov<sup>2</sup>, Mikhail V. Pozdnyakov<sup>3</sup>, Julia V. Sedova<sup>4</sup>

<sup>1,2,4</sup>Kotel'nikov's Institute of Radio-Engineering and Electronics of RAS, Saratov Branch  
Zelenaya 38, Saratov, 410019 Russia

<sup>3</sup>Saratov State Technical University  
Polytechnicheskaya 77, Saratov, 410054, Russia

<sup>1</sup>alkuz@rambler.ru, <sup>2</sup>spkuz@rambler.ru, <sup>3</sup>mpozdnyakov@yandex.ru, <sup>4</sup>sedovayv@rambler.ru

We suggest a simple two-dimensional map, parameters of which are the trace and Jacobian of the perturbation matrix of the fixed point. On the parameters plane it demonstrates the main universal bifurcation scenarios: the threshold to chaos via period-doublings, the situation of quasiperiodic oscillations and Arnold tongues. We demonstrate the possibility of implementation of such map in radiophysical device.

MSC 2010: 37G35

Keywords: maps, bifurcations, phenomena of quasiperiodicity

Received February 27, 2012, accepted April 16, 2012

Citation: *Rus. J. Nonlin. Dyn.*, 2012, vol. 8, no. 3, pp. 461–471 (Russian)